NetWorks Sp. z o.o.
Laboratorium Badań Środowiskowych
ul. Józefa Piusa Dziekońskiego 3
00-728 Warszawa
e-mail: Laboratorium@networks.pl

AB 419

S P R A W O Z D A N I E 8178/2026/OS
Z POMIARÓW PÓL ELEKTROMAGNETYCZNYCH
WYKONANYCH DLA POTRZEB OCHRONY ŚRODOWISKA

Badany obiekt: Instalacja radiokomunikacyjna Orange Polska S.A.

Numer i nazwa: 50053 (50053N!) STELLA MARIS NEW (GGD_GDANSK_ZABIKRUK13)

Adres: GDAŃSK, ŻABI KRUK 13, Powiat m. Gdańsk, WOJ. POMORSKIE

Data wykonania pomiarów: 2026-10-09, 2026-10-23

Sprawozdanie z badań bez pisemnej zgody laboratorium nie może być powielane inaczej niż w całości.
Wyniki przedstawione w niniejszym sprawozdaniu odnoszą się wyłącznie do badanego obiektu i do warunków i konfiguracji urządzeń w dniu wykonywania pomiarów.

1. **Właściciel badanego obiektu:**
   Orange Polska S.A., Al. Jerozolimskie 160, 02-326 Warszawa

2. **Zleceniodawca:**
   Orange Polska S.A., Al. Jerozolimskie 160, 02-326 Warszawa

3. **Przedstawiciel zleceniodawcy:**
   NetWorks Sp. z o.o.

4. **Zakres zlecenia:**
   Wykonanie badania i opracowanie sprawozdania z pomiarów natężenia pola elektrycznego i pola magnetycznego dla instalacji radiokomunikacyjnej Orange Polska S.A. zlokalizowanej w miejscowości GDAŃSK, ŻABI KRUK 13.

5. **Cel zlecenia:**
   Wykonanie pomiarów pól elektomagnetycznych w otoczeniu instalacji radiokomunikacyjnej 50053 (50053N!) STELLA MARIS NEW (GGD_GDANSK_ZABIKRUK13) w odniesieniu do wymagań określonych w *Rozporządzeniu Ministra Klimatu z dnia 17 lutego 2020 r. w sprawie sposobów sprawdzania dotrzymania dopuszczalnych poziomów pól elektromagnetycznych w środowisku (Dz.U. 2022 poz. 2630).*

6. **Pomiary zostały wykonane przez:**
   Helwak Jakub
   Przybyszewski Patryk

7. **Informacje o źródłach pól elektromagnetycznych**

7.1. Sposób identyfikacji badanych źródeł pól elektromagnetycznych

Identyfikacji źródeł i parametrów technicznych dokonano na podstawie analizy dokumentacji dotyczącej zlecenia oraz obserwacji miejsca wykonywania badań.

7.2. Opis miejsca zainstalowania anten i urządzeń technicznych. Opis obiektu badań i jego otoczenia

Instalacja radiokomunikacyjna zlokalizowana jest na dachu. Anteny zawieszono na masztach usytowanych na dachu budynku. Urządzenia sterujące oraz zasilające zainstalowano w szafie outdoor na dachu budynku. Wokół instalacji znajduje się miasto.

Instalacja radiokomunikacyjna jest obiektem bezobsługowym. Okresowe stanowiska pracy związane są z prowadzonymi w zależności od potrzeb konserwacjami, przeglądami, strojeniem i naprawami.

Sprawozdanie z badań bez pisemnej zgody laboratorium nie może być powielane inaczej niż w całości.
Wyniki przedstawione w niniejszym sprawozdaniu odnoszą się wyłącznie do badanego obiektu i do warunków i konfiguracji urządzeń w dniu wykonywania pomiarów.

7.3. Parametry techniczne źródła pola elektromagnetycznego

Dane przedstawiające maksymalne parametry pracy instalacji przekazane przez zleceniodawcę:

Parametry systemu nadawczo-odbiorczego:

Charakterystyka promieniowania	Kierunkowa
Rzeczywisty czas pracy [h/dobę]	24
Warunki pracy	Znamionowe
Rodzaj wytwarzanego pola	Stacjonarne

Lp.	Częstotliwość lub zakresy częstotliwości pracy [MHz]	Typ/producent anteny	liczba anten	Azymut [°]	kąt pochylenia [°]	Wysokość środka elektrycznego anteny [m n.p.t]	Równoważna moc promieniowana izotropowo (EIRP) [W]
1	800/900/1800/2100/2600	800482002 Ericsson	1	40	2-12**/2-12**/ 2-12**/2-12**/ 2-12**	31.8	28929
2	3600	AQQQ NSN	1	40	4-10**	32.5	47886
3	800/900/1800/2100/2600	800482002 Ericsson	1	160	2-12**/2-12**/ 2-12**/2-12**/ 2-12**	31.6	28929
4	3600	AQQQ NSN	1	160	4-10**	32.3	47886
5	800/900/1800/2100/2600	800482002 Ericsson	1	280	2-12**/2-12**/ 2-12**/2-12**/ 2-12**	32.1	28929
6	3600	AQQQ NSN	1	280	4-10**	32.8	47886

* wskazane wartości kąta pochylenia anten, zgodnie z informacją uzyskaną od zleceniodawcy, są wartościami stałymi
** pomiary wykonano zgodnie z pkt 13., ppkt 2 załącznika do Rozporządzenia Ministra Klimatu z dnia 17 lutego 2020 r. (Dz. U. 2022, poz. 2630).

Transmisja realizowana drogą kablową

7.4 Inne źródła pól elektromagnetycznych

Na podstawie informacji otrzymanych od użytkownika oraz obserwacji otoczenia miejsca wykonywania pomiarów stwierdzono występowanie innych źródeł pola-EM, pracujących w systemach: telefonii komórkowej (800MHz-3800MHz), linii radiowych (5GHz-90GHz), które istotnie wpływają na wyniki pomiarów.

8. Opis pomiarów

8.1. Metoda badań

Zgodna z rozporządzeniem Ministra Klimatu z dnia 17 lutego 2020 r. w sprawie sposobów sprawdzania dotrzymania dopuszczalnych poziomów pól elektromagnetycznych w środowisku (Dz.U. 2022 poz. 2630), określona w pkt 25 ppkt 1 załącznika do niniejszego rozporządzenia.

8.2. Termin pomiarów i warunki środowiskowe

Podczas wykonywania pomiarów pól elektromagnetycznych nie występowały opady atmosferyczne. Wyniki pomiaru parametrów pogodowych przedstawia poniższa tabela:

Data [rrrr-mm- dd]	Godzina [hh:mm-hh:mm]	Warunki środowiskowe			
		Temperatura [°C]		Wilgotność względna [%]	
2026-10-09	10:10-11:50	Przed pomiarem	Po pomiarach	Przed pomiarem	Po pomiarach
		11.0	12.3	74.0	74.0

Data [rrrr-mm- dd]	Godzina [hh:mm-hh:mm]	Warunki środowiskowe			
		Temperatura [°C]		Wilgotność względna [%]	
2026-10-23	13:35-14:05	Przed pomiarem	Po pomiarach	Przed pomiarem	Po pomiarach
		13.0	13.2	68.0	67.0

Sprawozdanie z badań bez pisemnej zgody laboratorium nie może być powielane inaczej niż w całości.
Wyniki przedstawione w niniejszym sprawozdaniu odnoszą się wyłącznie do badanego obiektu i do warunków i konfiguracji urządzeń w dniu wykonywania pomiarów.

Przedstawione wyżej warunki środowiskowe, występujące podczas wykonywania pomiarów pól elektromagnetycznych, są zgodne ze specyfikacją techniczną użytego zestawu pomiarowego.

8.3. Warunki pracy urządzeń nadawczych

Podczas pomiarów w przypadku uzyskania wyniku pomiaru szerokopasmowego wykonanego zastosowaną metodą, dla zakresów częstotliwości od 10 MHz do 300 GHz, powiększonego o rozszerzoną niepewność pomiaru U dla współczynnika rozszerzenia k = 2 przekraczającego 70% najniższej dopuszczalnej wartości składowej elektrycznej lub magnetycznej pola dla objętych pomiarami zakresów częstotliwości, uwzględnia się poprawki pomiarowe przekazane przez zleceniodawcę, umożliwiające uwzględnienie maksymalnych parametrów pracy instalacji zgodnie z pkt 7 załącznika do Rozporządzeniem Ministra Klimatu z dnia 17 lutego 2020 r. w sprawie sposobów sprawdzania dotrzymania dopuszczalnych poziomów pól elektromagnetycznych w środowisku (Dz. U. 2022, poz. 2630) zaznaczając, że wymagane jest wykonanie pomiaru z wykorzystaniem miernika selektywnego. W przypadku uzyskania wyniku pomiaru szerokopasmowego wykonanego zastosowaną metodą, dla zakresów częstotliwości od 10 MHz do 300 GHz, powiększonego o rozszerzoną niepewność pomiaru U dla współczynnika rozszerzenia k = 2 nieprzekraczającego 70% najniższej dopuszczalnej wartości składowej elektrycznej lub magnetycznej pola dla objętych pomiarami zakresów częstotliwości, nie uwzględnia się poprawek pomiarowych.

8.4. Wyposażenie pomiarowe

Zestaw pomiarowy służący do pomiaru natężenia składowej elektrycznej pola elektromagnetycznego złożony z szerokopasmowego miernika i sondy pomiarowej:

Oznaczenie miernika	Producent	Model	Numer fabryczny	Oznaczenie sondy	Producent	Model	Numer fabryczny
MW-08	Wavecontrol	Miernik pól elektromagnetycznych SMP2	22SN2090	SW-15	Wavecontrol	Sonda WPF60	22WP230221

Mierniki natężenia pola elektromagnetycznego podlegają okresowemu sprawdzeniu zgodnie z procedurą wewnętrzną P-03 i PB-01. Świadectwo wzorcowania zestawu pomiarowego z dnia 8 listopada 2024 o numerze LWiMP/W/395/24 wydane przez Politechnika Wrocławska. Data następnego wzorcowania: 8 listopada 2026 (zgodnie z procedurą wewnętrzną P-03).

Oznaczenie miernika	Producent	Model	Numer fabryczny	Oznaczenie sondy	Producent	Model	Numer fabryczny
MW-08	Wavecontrol	Miernik pól elektromagnetycznych SMP2	22SN2090	SW-16	Wavecontrol	Sonda WPF3-HP	22WP030450

Mierniki natężenia pola elektromagnetycznego podlegają okresowemu sprawdzeniu zgodnie z procedurą wewnętrzną P-03 i PB-01. Świadectwo wzorcowania zestawu pomiarowego z dnia 8 listopada 2024 o numerze LWiMP/W/395/24 wydane przez Politechnika Wrocławska. Data następnego wzorcowania: 8 listopada 2026 (zgodnie z procedurą wewnętrzną P-03).

Termohigrometr:

Oznaczenie:	TH-24	Producent:	AZ INSTRUMENT CORP	Model:	Termohigrometr AZ8706

Data następnego wzorcowania: 3 sierpnia 2027 (zgodnie z procedurą wewnętrzną P-03).

Dalmierz:

Oznaczenie	Producent	Typ	Numer seryjny	Nr świadectwa wzorcowania	Data świadectwa wzorcowania
D-09	Leica	Dalmierz Leica Disto D510	1042956700	Z3-Z32.4180.182.2024.4196.3	8 stycznia 2025

Data następnego wzorcowania: 8 stycznia 2035 (zgodnie z procedurą wewnętrzną P-03).

Odbiornik GNSS:

Odbiornik GNSS wbudowany w miernik natężenia pola elektromagnetycznego użyty podczas pomiarów	Producent	Model
	UBlox	MAX-M8Q

Odbiorniki podlegają okresowemu sprawdzeniu zgodnie z procedurą wewnętrzną P-03.

Sprawozdanie z badań bez pisemnej zgody laboratorium nie może być powielane inaczej niż w całości.
Wyniki przedstawione w niniejszym sprawozdaniu odnoszą się wyłącznie do badanego obiektu i do warunków i konfiguracji urządzeń w dniu wykonywania pomiarów.

9. Wyniki pomiarów

Pomiary wykonano na terenach przeznaczonych pod zabudowę mieszkaniową w obszarze pomiarowym, w którym na podstawie uprzednio przeprowadzonych obliczeń (OOP* 3379/2026/RP), stwierdzono występowanie w danych zakresach częstotliwości pól elektromagnetycznych o poziomach zbliżonych do poziomów dopuszczalnych, określonych w przepisach wydanych na podstawie art. 122 ust. 1 ustawy z dnia 27 kwietnia 2001 r. – Prawo ochrony środowiska.
*OOP - Obligatoryjny Obszar Pomiarowy - opracowanie przedstawia przewidywane rozkłady pól elektromagnetycznych w otoczeniu instalacji radiokomunikacyjnej.

Pole elektryczne

Nr pionu	Opis umiejscowienia pionu (punktu) pomiarowego	Wysokość pomiaru [m]	Zmierzona wartość natężenia pola elektrycznego E [V/m][1,5]			Wartość natężenia pola elektrycznego powiększona o niepewność pomiaru [4] E [V/m]	Wskaźnikowa wartość poziomu emisji pól elektromagnetycznych WM_E[3]	Współrzędne geograficzne pionu (punktu) pomiarowego[2]
			Sonda SW-15	Sonda SW-16	Wartość			
1	DPP w płaszczyźnie otworu okiennego budynku na piętrze 1 przy ul. Pod zrębem 9a	2.0	1.4	1.4	1.4	1.9	0.07	54°20'32.3" 18°38'54.6"
2	DPP w płaszczyźnie otworu okiennego budynku na piętrze 8 przy ul. Zabi kruk 13	2.0	1.6	1.6	1.6	2.2	0.08	54°20'33.7" 18°38'54.6"
3*	DPP w płaszczyźnie otworu okiennego budynku na piętrze 8 przy ul. Zabi kruk 11	2.0	**8.2**	**8.2**	**8.2**	11.1	0.4	54°20'35.2" 18°38'56.0"
4	DPP w płaszczyźnie otworu okiennego budynku na piętrze 8 przy ul. Zabi kruk 9	0.3-2.0	<1.0*	<1.0*	<1.0*	1.4	0.05	54°20'36.2" 18°38'57.8"
5	GKP w odległości poziomej 5m od anteny sektorowej az. 40°	0.3-2.0	<1.0*	<1.0*	<1.0*	1.4	0.05	54°20'34.4" 18°38'55.3"
6	GKP w odległości poziomej 52m od anteny sektorowej az. 40°	0.3-2.0	<1.0*	<1.0*	<1.0*	1.4	0.05	54°20'35.5" 18°38'57.1"
7	GKP w odległości poziomej 100m od anteny sektorowej az. 40°	0.3-2.0	<1.0*	<1.0*	<1.0*	1.4	0.05	54°20'36.6" 18°38'58.9"
8	GKP w odległości poziomej 4m	0.3-2.0	<1.0*	<1.0*	<1.0*	1.4	0.05	54°20'33.4" 18°38'55.0"

Sprawozdanie z badań bez pisemnej zgody laboratorium nie może być powielane inaczej niż w całości.
Wyniki przedstawione w niniejszym sprawozdaniu odnoszą się wyłącznie do badanego obiektu i do warunków i konfiguracji urządzeń w dniu wykonywania pomiarów.

	od anteny sektorowej az. 160°							
9	GKP w odległości poziomej 37m od anteny sektorowej az. 160°	2.0	1.4	1.4	1.4	1.9	0.07	54°20'32.3" 18°38'55.7"
10	GKP w odległości poziomej 114m od anteny sektorowej az. 160°	0.3-2.0	<1.0*	<1.0*	<1.0*	1.4	0.05	54°20'30.1" 18°38'57.1"
11	GKP w odległości poziomej 20m od anteny sektorowej az. 280°	0.3-2.0	<1.0*	<1.0*	<1.0*	1.4	0.05	54°20'34.1" 18°38'53.5"
12	GKP w odległości poziomej 40m od anteny sektorowej az. 280°	2.0	1.4	1.4	1.4	1.9	0.07	54°20'34.1" 18°38'52.4"
13	DPP w płaszczyźnie otworu okiennego budynku na parterze przy ul. Rzeźnicka 2	2.0	1.4	1.4	1.4	1.9	0.07	54°20'34.1" 18°38'52.1"
14	DPP w płaszczyźnie otworu okiennego budynku na parterze przy ul. Zabi kruk 14	2.0	1.2	1.2	1.2	1.6	0.06	54°20'34.8" 18°38'52.8"
15	GKP w odległości poziomej 109m od anteny sektorowej az. 280°	2.0	1.4	1.4	1.4	1.9	0.07	54°20'34.4" 18°38'48.8"
16	PKP na az. 5° w odległości poziomej 55m od anteny sektorowej az. 40°	2.0	1.3	1.3	1.3	1.8	0.06	54°20'35.9" 18°38'55.3"
17	PKP na az. 20° w odległości poziomej 55m od anteny sektorowej az. 40°	2.0	1.3	1.3	1.3	1.8	0.06	54°20'35.9" 18°38'56.0"
18	PKP na az. 33° w odległości poziomej 60m od anteny sektorowej az. 40°	2.0	1.2	1.2	1.2	1.6	0.06	54°20'35.5" 18°38'56.8"
19	PKP na az. 47° w odległości poziomej 58m od anteny sektorowej az. 40°	0.3-2.0	<1.0*	<1.0*	<1.0*	1.4	0.05	54°20'35.2" 18°38'57.5"
20	PKP na az. 59° w odległości poziomej 48m	0.3-2.0	<1.0*	<1.0*	<1.0*	1.4	0.05	54°20'34.8" 18°38'57.5"

Sprawozdanie z badań bez pisemnej zgody laboratorium nie może być powielane inaczej niż w całości.
Wyniki przedstawione w niniejszym sprawozdaniu odnoszą się wyłącznie do badanego obiektu i do warunków i konfiguracji urządzeń w dniu wykonywania pomiarów.

	od anteny sektorowej az. 40°							
21	PKP na az. 75° w odległości poziomej 49m od anteny sektorowej az. 40°	2.0	1.2	1.2	1.2	1.6	0.06	54°20'34.4" 18°38'57.8"
22	PKP na az. 125° w odległości poziomej 33m od anteny sektorowej az. 160°	2.0	1.3	1.3	1.3	1.8	0.06	54°20'33.0" 18°38'56.4"
23	PKP na az. 139° w odległości poziomej 34m od anteny sektorowej az. 160°	2.0	1.3	1.3	1.3	1.8	0.06	54°20'32.6" 18°38'56.4"
24	PKP na az. 152° w odległości poziomej 40m od anteny sektorowej az. 160°	2.0	1.2	1.2	1.2	1.6	0.06	54°20'32.3" 18°38'56.0"
25	PKP na az. 168° w odległości poziomej 42m od anteny sektorowej az. 160°	2.0	1.3	1.3	1.3	1.8	0.06	54°20'32.3" 18°38'55.7"
26	PKP na az. 180° w odległości poziomej 49m od anteny sektorowej az. 160°	2.0	1.2	1.2	1.2	1.6	0.06	54°20'31.9" 18°38'55.0"
27	PKP na az. 194° w odległości poziomej 36m od anteny sektorowej az. 160°	2.0	1.3	1.3	1.3	1.8	0.06	54°20'32.3" 18°38'54.6"
28	PKP na az. 245° w odległości poziomej 42m od anteny sektorowej az. 280°	0.3-2.0	<1.0*	<1.0*	<1.0*	1.4	0.05	54°20'33.4" 18°38'52.4"
29	PKP na az. 260° w odległości poziomej 48m od anteny sektorowej az. 280°	2.0	1.4	1.4	1.4	1.9	0.07	54°20'33.7" 18°38'52.1"
30	PKP na az. 273° w odległości poziomej 44m od anteny sektorowej az. 280°	2.0	1.3	1.3	1.3	1.8	0.06	54°20'33.7" 18°38'52.1"
31	PKP na az. 287° w odległości poziomej 39m od anteny	2.0	1.3	1.3	1.3	1.8	0.06	54°20'34.1" 18°38'52.4"

Sprawozdanie z badań bez pisemnej zgody laboratorium nie może być powielane inaczej niż w całości.
Wyniki przedstawione w niniejszym sprawozdaniu odnoszą się wyłącznie do badanego obiektu i do warunków i konfiguracji urządzeń w dniu wykonywania pomiarów.

	sektorowej az. 280°							
32	PKP na az. 300° w odległości poziomej 40m od anteny sektorowej az. 280°	2.0	1.3	1.3	1.3	1.8	0.06	54°20'34.4" 18°38'52.8"
33	PKP na az. 315° w odległości poziomej 40m od anteny sektorowej az. 280°	2.0	1.3	1.3	1.3	1.8	0.06	54°20'34.8" 18°38'53.2"
-	GKP w odległości poziomej 178m od anteny sektorowej az. 40°	0.3-2.0	<1.0*	<1.0*	<1.0*	1.4	0.05	54°20'38.8" 18°39'1.4"
-	GKP w odległości poziomej 178m od anteny sektorowej az. 160°	0.3-2.0	<1.0*	<1.0*	<1.0*	1.4	0.05	54°20'28.0" 18°38'58.6"
-	GKP w odległości poziomej 181m od anteny sektorowej az. 280°	2.0	1.3	1.3	1.3	1.8	0.06	54°20'34.8" 18°38'44.9"

Pole magnetyczne (wyznaczone na podstawie pomiaru wartości natężenia pola elektrycznego)

Nr pionu	Opis umiejscowienia pionu (punktu) pomiarowego	Wysokość pomiaru [m]	Wartość natężenia pola magnetycznego H [A/m][1]			Wartość natężenia pola magnetycznego powiększona o niepewność pomiaru[4] H [A/m]	Wskaźnikowa wartość poziomu emisji pól elektromagnetycznych WM_H[3]	Współrzędne geograficzne pionu (punktu) pomiarowego[2]
			Sonda SW-15	Sonda SW-16	Wartość			
1	DPP w płaszczyźnie otworu okiennego budynku na piętrze 1 przy ul. Pod zrębem 9a	2.0	0.004	0.004	0.004	0.005	0.07	54°20'32.3" 18°38'54.6"
2	DPP w płaszczyźnie otworu okiennego budynku na piętrze 8 przy ul. Zabi kruk 13	2.0	0.004	0.004	0.004	0.006	0.08	54°20'33.7" 18°38'54.6"
3*	DPP w płaszczyźnie otworu okiennego budynku na piętrze 8 przy ul. Zabi kruk 11	2.0	**0.022**	**0.022**	0.022	0.029	0.4	54°20'35.2" 18°38'56.0"
4	DPP w płaszczyźnie otworu okiennego budynku na	0.3-2.0	<0.003*	<0.003*	<0.003*	0.004	0.05	54°20'36.2" 18°38'57.8"

Sprawozdanie z badań bez pisemnej zgody laboratorium nie może być powielane inaczej niż w całości.
Wyniki przedstawione w niniejszym sprawozdaniu odnoszą się wyłącznie do badanego obiektu i do warunków i konfiguracji urządzeń w dniu wykonywania pomiarów.

	piętrze 8 przy ul. Zabi kruk 9							
5	GKP w odległości poziomej 5m od anteny sektorowej az. 40°	0.3-2.0	<0.003*	<0.003*	<0.003*	0.004	0.05	54°20'34.4" 18°38'55.3"
6	GKP w odległości poziomej 52m od anteny sektorowej az. 40°	0.3-2.0	<0.003*	<0.003*	<0.003*	0.004	0.05	54°20'35.5" 18°38'57.1"
7	GKP w odległości poziomej 100m od anteny sektorowej az. 40°	0.3-2.0	<0.003*	<0.003*	<0.003*	0.004	0.05	54°20'36.6" 18°38'58.9"
8	GKP w odległości poziomej 4m od anteny sektorowej az. 160°	0.3-2.0	<0.003*	<0.003*	<0.003*	0.004	0.05	54°20'33.4" 18°38'55.0"
9	GKP w odległości poziomej 37m od anteny sektorowej az. 160°	2.0	0.004	0.004	0.004	0.005	0.07	54°20'32.3" 18°38'55.7"
10	GKP w odległości poziomej 114m od anteny sektorowej az. 160°	0.3-2.0	<0.003*	<0.003*	<0.003*	0.004	0.05	54°20'30.1" 18°38'57.1"
11	GKP w odległości poziomej 20m od anteny sektorowej az. 280°	0.3-2.0	<0.003*	<0.003*	<0.003*	0.004	0.05	54°20'34.1" 18°38'53.5"
12	GKP w odległości poziomej 40m od anteny sektorowej az. 280°	2.0	0.004	0.004	0.004	0.005	0.07	54°20'34.1" 18°38'52.4"
13	DPP w płaszczyźnie otworu okiennego budynku na parterze przy ul. Rzeźnicka 2	2.0	0.004	0.004	0.004	0.005	0.07	54°20'34.1" 18°38'52.1"
14	DPP w płaszczyźnie otworu okiennego budynku na parterze przy ul. Zabi kruk 14	2.0	0.003	0.003	0.003	0.004	0.06	54°20'34.8" 18°38'52.8"
15	GKP w odległości poziomej 109m od anteny sektorowej az. 280°	2.0	0.004	0.004	0.004	0.005	0.07	54°20'34.4" 18°38'48.8"
16	PKP na az. 5° w odległości poziomej 55m od anteny sektorowej az. 40°	2.0	0.003	0.003	0.003	0.005	0.06	54°20'35.9" 18°38'55.3"

Sprawozdanie z badań bez pisemnej zgody laboratorium nie może być powielane inaczej niż w całości.
Wyniki przedstawione w niniejszym sprawozdaniu odnoszą się wyłącznie do badanego obiektu i do warunków i konfiguracji urządzeń w dniu wykonywania pomiarów.

17	PKP na az. 20° w odległości poziomej 55m od anteny sektorowej az. 40°	2.0	0.003	0.003	0.003	0.005	0.06	54°20'35.9" 18°38'56.0"
18	PKP na az. 33° w odległości poziomej 60m od anteny sektorowej az. 40°	2.0	0.003	0.003	0.003	0.004	0.06	54°20'35.5" 18°38'56.8"
19	PKP na az. 47° w odległości poziomej 58m od anteny sektorowej az. 40°	0.3-2.0	<0.003*	<0.003*	<0.003*	0.004	0.05	54°20'35.2" 18°38'57.5"
20	PKP na az. 59° w odległości poziomej 48m od anteny sektorowej az. 40°	0.3-2.0	<0.003*	<0.003*	<0.003*	0.004	0.05	54°20'34.8" 18°38'57.5"
21	PKP na az. 75° w odległości poziomej 49m od anteny sektorowej az. 40°	2.0	0.003	0.003	0.003	0.004	0.06	54°20'34.4" 18°38'57.8"
22	PKP na az. 125° w odległości poziomej 33m od anteny sektorowej az. 160°	2.0	0.003	0.003	0.003	0.005	0.06	54°20'33.0" 18°38'56.4"
23	PKP na az. 139° w odległości poziomej 34m od anteny sektorowej az. 160°	2.0	0.003	0.003	0.003	0.005	0.06	54°20'32.6" 18°38'56.4"
24	PKP na az. 152° w odległości poziomej 40m od anteny sektorowej az. 160°	2.0	0.003	0.003	0.003	0.004	0.06	54°20'32.3" 18°38'56.0"
25	PKP na az. 168° w odległości poziomej 42m od anteny sektorowej az. 160°	2.0	0.003	0.003	0.003	0.005	0.06	54°20'32.3" 18°38'55.7"
26	PKP na az. 180° w odległości poziomej 49m od anteny sektorowej az. 160°	2.0	0.003	0.003	0.003	0.004	0.06	54°20'31.9" 18°38'55.0"
27	PKP na az. 194° w odległości poziomej 36m od anteny sektorowej az. 160°	2.0	0.003	0.003	0.003	0.005	0.06	54°20'32.3" 18°38'54.6"
28	PKP na az. 245° w odległości poziomej 42m od anteny sektorowej az. 280°	0.3-2.0	<0.003*	<0.003*	<0.003*	0.004	0.05	54°20'33.4" 18°38'52.4"
29	PKP na az. 260° w odległości poziomej 48m od anteny	2.0	0.004	0.004	0.004	0.005	0.07	54°20'33.7" 18°38'52.1"

Sprawozdanie z badań bez pisemnej zgody laboratorium nie może być powielane inaczej niż w całości.
Wyniki przedstawione w niniejszym sprawozdaniu odnoszą się wyłącznie do badanego obiektu i do warunków i konfiguracji urządzeń w dniu wykonywania pomiarów.

	sektorowej az. 280°							
30	PKP na az. 273° w odległości poziomej 44m od anteny sektorowej az. 280°	2.0	0.003	0.003	0.003	0.005	0.06	54°20'33.7" 18°38'52.1"
31	PKP na az. 287° w odległości poziomej 39m od anteny sektorowej az. 280°	2.0	0.003	0.003	0.003	0.005	0.06	54°20'34.1" 18°38'52.4"
32	PKP na az. 300° w odległości poziomej 40m od anteny sektorowej az. 280°	2.0	0.003	0.003	0.003	0.005	0.06	54°20'34.4" 18°38'52.8"
33	PKP na az. 315° w odległości poziomej 40m od anteny sektorowej az. 280°	2.0	0.003	0.003	0.003	0.005	0.06	54°20'34.8" 18°38'53.2"
-	GKP w odległości poziomej 178m od anteny sektorowej az. 40°	0.3-2.0	<0.003*	<0.003*	<0.003*	0.004	0.05	54°20'38.8" 18°39'1.4"
-	GKP w odległości poziomej 178m od anteny sektorowej az. 160°	0.3-2.0	<0.003*	<0.003*	<0.003*	0.004	0.05	54°20'28.0" 18°38'58.6"
-	GKP w odległości poziomej 181m od anteny sektorowej az. 280°	2.0	0.003	0.003	0.003	0.005	0.06	54°20'34.8" 18°38'44.9"

Pomiarów nie wykonano:

Oznaczenie braku dostępu	Opis umiejscowienia
A	W mieszkaniach nr 25,26,27,29,30,31,32,33,34,35,36,37,38 pod adresem Zabi kruk 13, z powodu braku mieszkańców
B	W budynku usługowym pod adresem Zabi kruk 14, z powodu braku zgody właściciela na wykonanie pomiaru
C	W budynku biurowym pod adresem Rzeznicka 2, z powodu braku zgody właściciela na wykonanie pomiaru
D	W mieszkaniach nr 35,36,34,33,29,32,31 pod adresem Zabi kruk 11, z powodu braku mieszkańców
E	W mieszkaniach nr 35,36,33,32,31,29 pod adresem Zabi kruk 9, z powodu braku mieszkańców

W miejscach, w których nie udało się przeprowadzić pomiarów z powodu nieobecności mieszkańców, Laboratorium Badań Środowiskowych NetWorks podejmie próbę ich wykonania podczas kolejnych badań poziomu pól elektromagnetycznych prowadzonych na potrzeby ochrony środowiska.

GKP – Główny Kierunek Pomiarowy
DPP – Dodatkowy Pion Pomiarowy
PKP – Pomocniczy Kierunek Pomiarowy
[1] wyniki oznaczone * są wynikami poniżej czułości zestawu pomiarowego i są wynikami spoza zakresu akredytacji. Do obliczenia wyniku skorygowanego przyjęto wartość skorelowaną z rzeczywistym wynikiem pomiaru - dolną granicę akredytowanego zakresu pomiarowego metody
[2] współrzędne geograficzne pozyskane metodą pomiaru bezpośredniego

Sprawozdanie z badań bez pisemnej zgody laboratorium nie może być powielane inaczej niż w całości.
Wyniki przedstawione w niniejszym sprawozdaniu odnoszą się wyłącznie do badanego obiektu i do warunków i konfiguracji urządzeń w dniu wykonywania pomiarów.

[3] do wyznaczenia wartości wskaźnikowej WM_E i WM_H przyjęto na podstawie uzgodnień z klientem oraz rozpoznania źródeł, jako wartości dopuszczalne pola elektrycznego i magnetycznego odpowiednio 28 V/m i 0,073 A/m.
[4] do wyznaczenia niepewności dla wyników poniżej czułości zestawu pomiarowego, przyjęto niepewność dla minimalnej wartości z zakresu pomiarowego.
[5] maksymalna wartość chwilowa
Niepewność oszacowano zgodnie z dokumentem P-03 „Procedura nadzoru nad wyposażeniem" w postaci niepewności rozszerzonej wynikającej z niepewności standardowej pomnożonej przez współczynnik rozszerzenia k=2.
Całkowita szacowana niepewność rozszerzona składowej E wynosi odpowiednio:
sonda SW-15: 35.1% dla częstotliwości do 4 GHz, sonda SW-16: 29.9% dla częstotliwości do 4 GHz
Pomiar wykonany metodą 2 sond, opisaną w artykule Medycyna Pracy 2015;66(5):701–712 „Optymalizacja metodyki pomiaru wieloczęstotliwościowego pola elektromagnetycznego stacji bazowych telefonii komórkowej".
*Pomiar pionu 3- wykonany w dniu 23-10-2026.

Umiejscowienie pionów (punktów) pomiarowych przedstawiono w załączniku nr 2 do niniejszego sprawozdania.

10. Omówienie wyników pomiarów

W związku z tym, że żadna z wartości zmierzonych, udokumentowanych w tabelach w pkt. 9, uzyskanych w skutek zastosowania pomiaru szerokopasmowego, powiększonego o rozszerzoną niepewność pomiaru U dla współczynnika rozszerzenia k = 2 nie przekroczyła 70% najniższej dopuszczalnej wartości składowej elektrycznej lub magnetycznej pola dla objętych pomiarami zakresów częstotliwości, nie uwzględnia się poprawek pomiarowych.

W wyniku zastosowania sposobu sprawdzenia dotrzymania dopuszczalnych poziomów pól elektromagnetycznych w środowisku, zgodnie pkt 25 ppkt 1 Rozporządzenia Ministra Klimatu z dnia 17 lutego 2020 r. (Dz. U. 2022, poz. 2630), w związku z tym, że żadna z wartości wskaźnikowych, udokumentowanych w tabelach w pkt. 9 nie przekracza wartości 1, stwierdza się, że w miejscach, w których wykonano pomiary w otoczeniu instalacji radiokomunikacyjnej 50053 (50053N!) STELLA MARIS NEW (GGD_GDANSK_ZABIKRUK13), dopuszczalne poziomy pól elektromagnetycznych w środowisku należy uznać za dotrzymane.
Miejsca niedostępne podczas wykonywania pomiarów wskazane zostały w pkt. 9 (Wyniki pomiarów) lub na załączniku przedstawiającym usytuowanie pionów pomiarowych

11. Podstawa prawna

1) Ustawa z dnia 27 kwietnia 2001 r. Prawo ochrony środowiska (T. j. Dz. U. z 2025 r., poz. 647 z późn. zm.)
2) Rozporządzenie Ministra Zdrowia z dnia 17 grudnia 2019 r. w sprawie dopuszczalnych poziomów pól elektromagnetycznych w środowisku (Dz. U. 2019, poz. 2448)
3) Rozporządzenie Ministra Klimatu z dnia 17 lutego 2020 r. w sprawie sposobów sprawdzania dotrzymania dopuszczalnych poziomów pól elektromagnetycznych w środowisku (Dz. U. 2022, poz. 2630),
4) Akredytacja nr AB 419 wydana przez Polskie Centrum Akredytacji (wydanie nr 25 z dnia 01.09.2026 r.)

12. Spis załączników

Załącznik 1. Lokalizacja obiektu badań
Załącznik 2. Usytuowanie pionów (punktów) pomiarowych
Załącznik 3. Dokumentacja fotograficzna obiektu badań

13. Data wydania i autoryzowania sprawozdania

Obliczenia i sprawozdanie wykonał :



Sprawozdanie autoryzował:



Koniec sprawozdania

Sprawozdanie z badań bez pisemnej zgody laboratorium nie może być powielane inaczej niż w całości.
Wyniki przedstawione w niniejszym sprawozdaniu odnoszą się wyłącznie do badanego obiektu i do warunków i konfiguracji urządzeń w dniu wykonywania pomiarów.



Załącznik nr 1	Instalacja radiokomunikacyjna Orange Polska S.A. 50053 (50053N!) STELLA MARIS NEW (GGD_GDANSK_ZABIKRUK13) Lokalizacja instalacji

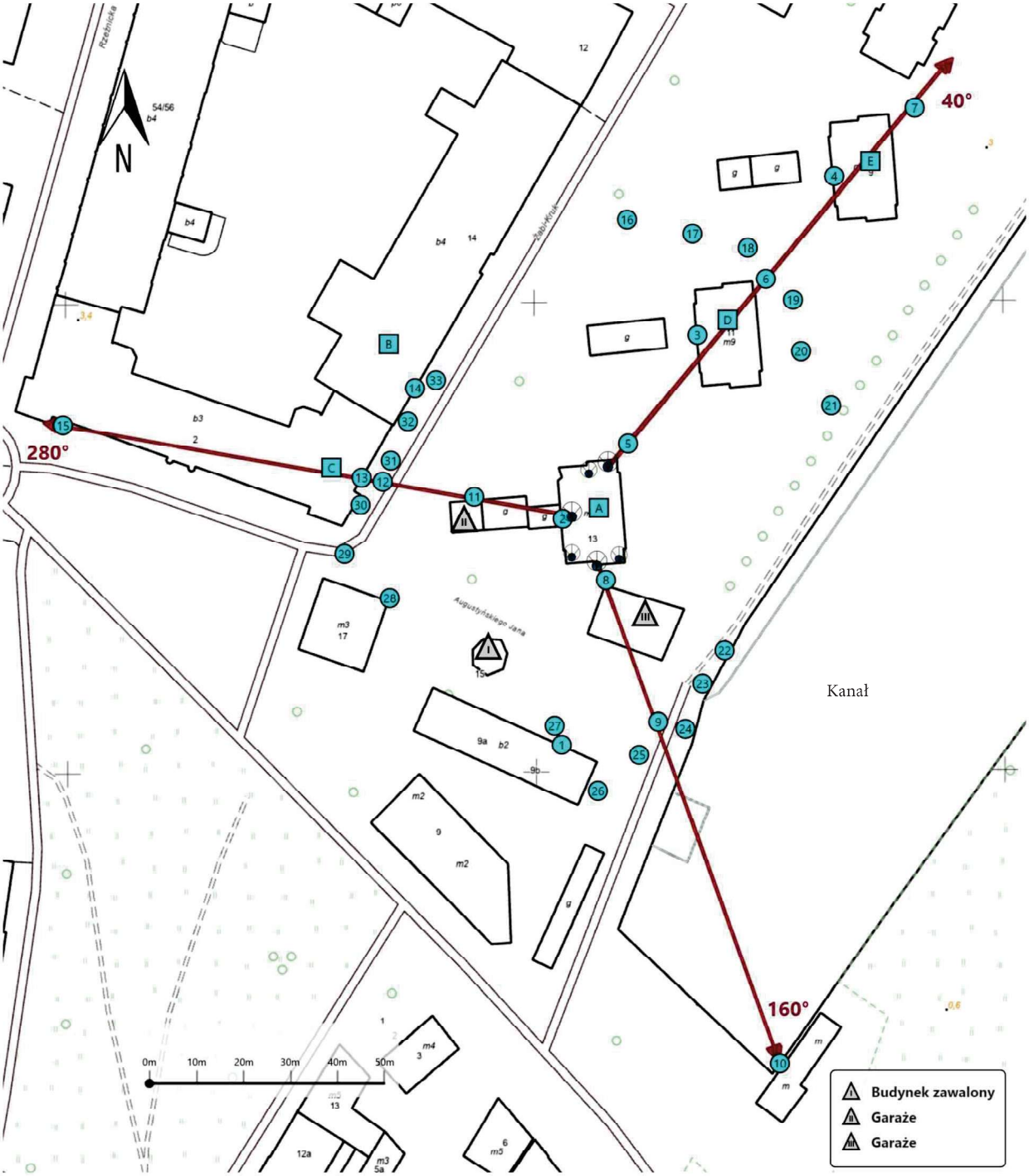

Załącznik nr 2	Instalacja radiokomunikacyjna Orange Polska S.A. GGD_GDANSK_ZABIKRUK13 (50053N!) Usytuowanie pionów pomiarowych w otoczeniu instalacji radiokomunikacyjnej
	Legenda: Źródło pola elektromagnetycznego Brak dostępu Pion pomiarowy Kierunek oddziaływania anten sektorowych Kierunek oddziaływania anten radioliniowych



Załącznik nr 3	Instalacja radiokomunikacyjna Orange Polska S.A. 50053 (50053N!) STELLA MARIS NEW (GGD_GDANSK_ZABIKRUK13) Dokumentacja fotograficzna